

# Synthesis and biological evaluation of a new structural simplified analogue of cADPR, a calcium-mobilizing secondary messenger firstly isolated from sea urchin eggs

Stefano D'Errico<sup>1,2</sup>, Nicola Borbone<sup>1,2</sup>, Bruno Catalanotti<sup>1</sup>, Agnese Secondo<sup>3</sup>, Tiziana Petrozziello<sup>3</sup>, Ilaria Piccialli<sup>3</sup>, Anna Pannaccione<sup>3</sup>, Valeria Costantino<sup>1</sup>, Luciano Mayol<sup>1</sup>, Gennaro Piccialli<sup>1,3</sup> and Giorgia Oliviero<sup>2,4,\*</sup>

<sup>1</sup>Dipartimento di Farmacia, Università degli Studi di Napoli Federico II, Via D. Montesano 49, 80131 Napoli, Italy

<sup>2</sup>SYSBIO.IT, Centre of Systems Biology, University of Milano-Bicocca, Milano, Italy

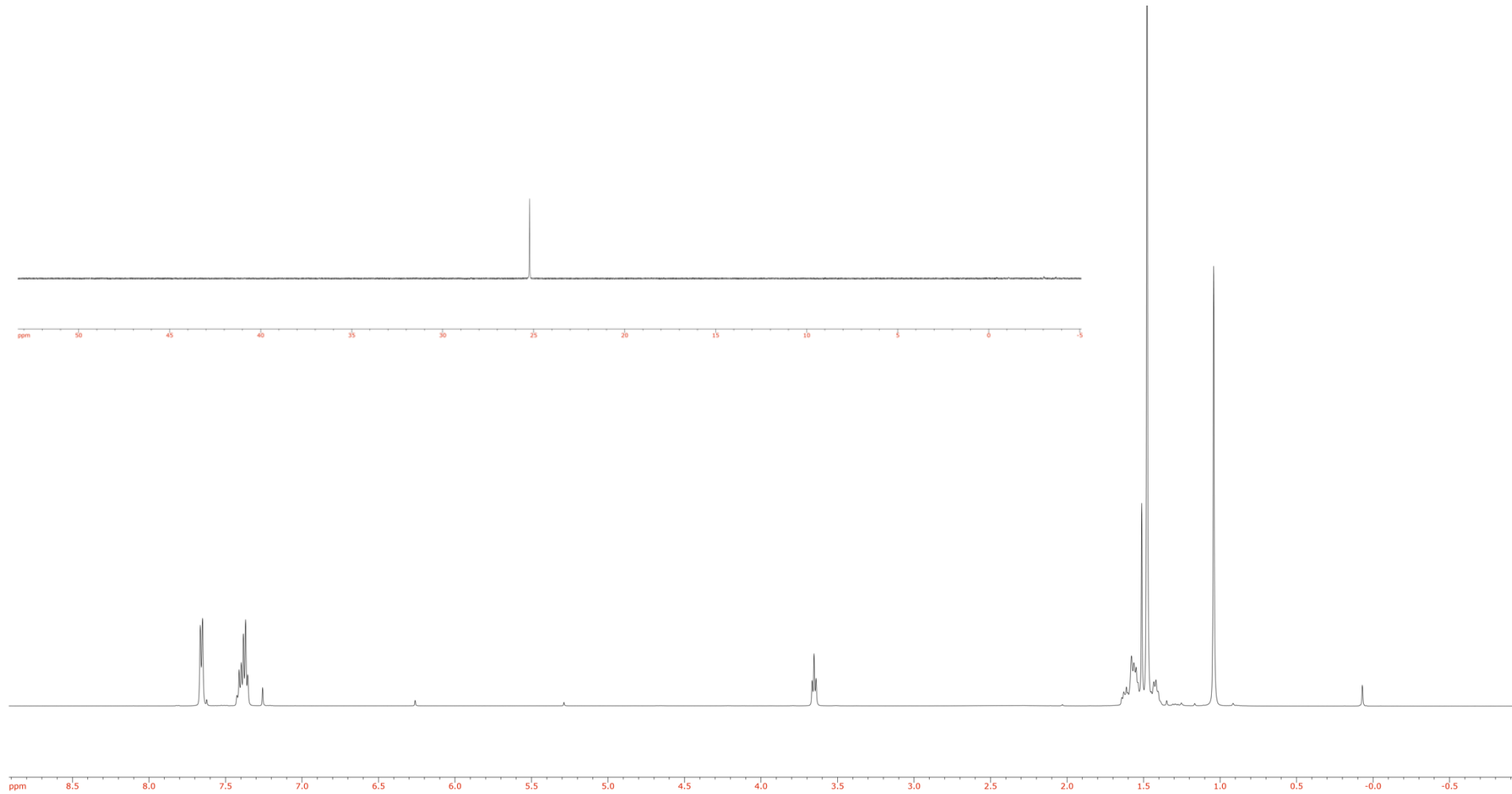
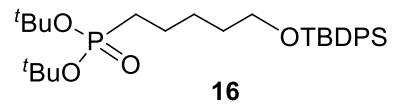
<sup>3</sup>Divisione di Farmacologia, Dipartimento di Neuroscienze, Scienze Riproductive e Odontostomatologiche, Scuola di Medicina, Università degli Studi di Napoli Federico II, Via S. Pansini 5, 80131 Napoli, Italy

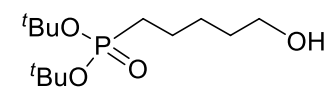
<sup>4</sup>Dipartimento di Medicina Molecolare e Biotecnologie Mediche, Università degli Studi di Napoli Federico II, Via S. Pansini 5, 80131 Napoli, Italy

\*Corresponding author: [golivier@unina.it](mailto:golivier@unina.it)

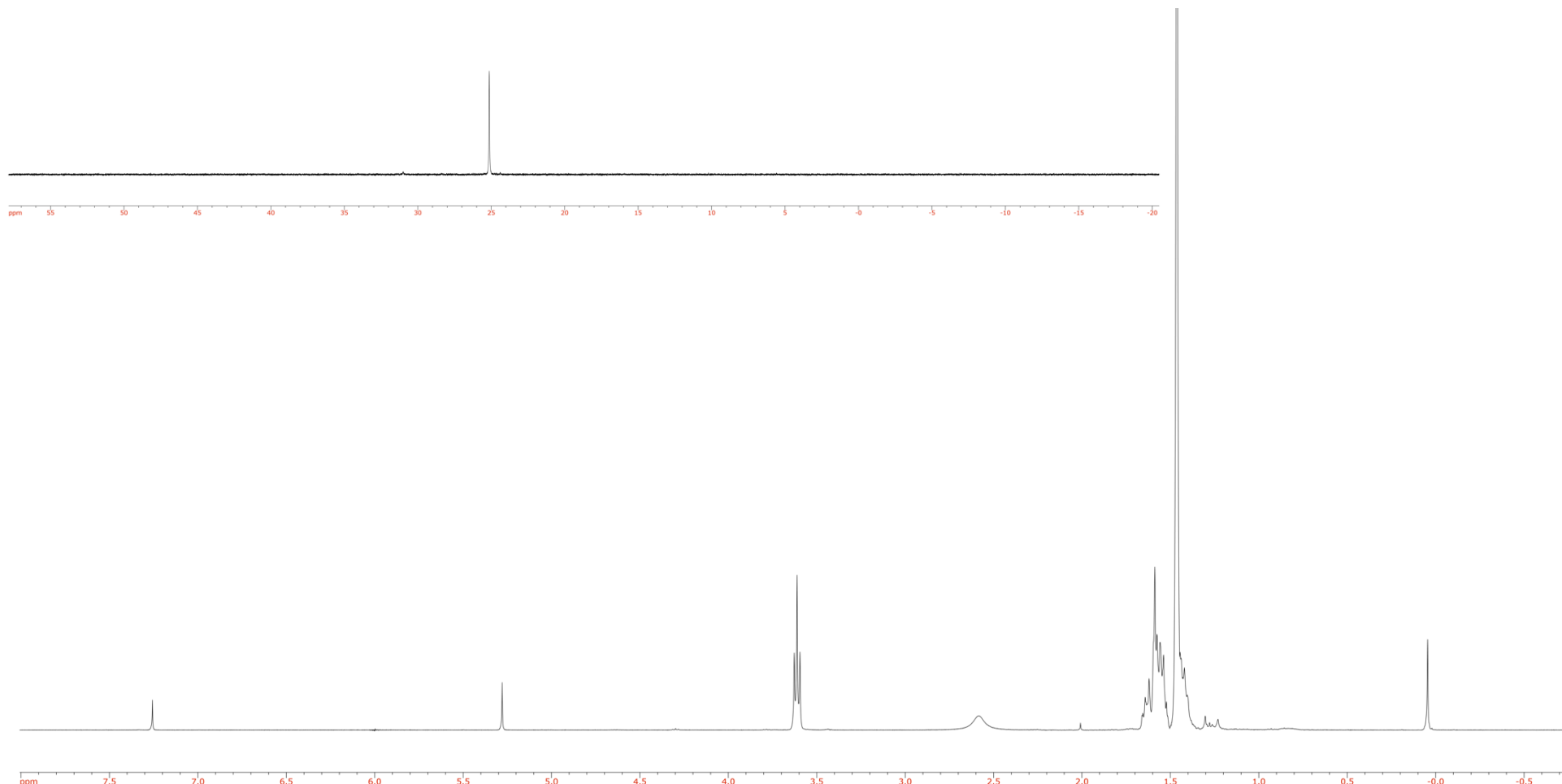
<sup>1</sup> H- and <sup>31</sup> P-NMR spectra of compound <b>16</b>	S3
<sup>1</sup> H- and <sup>31</sup> P-NMR spectra of compounds <b>17</b>	S4
<sup>1</sup> H- and <sup>31</sup> P-NMR spectra of compounds <b>19</b>	S5
<sup>1</sup> H- and <sup>31</sup> P-NMR spectra of compounds <b>21</b>	S6
<sup>1</sup> H- and <sup>31</sup> P-NMR spectra of compounds <b>22</b>	S7
<sup>1</sup> H- and <sup>31</sup> P-NMR spectra of compounds <b>23</b>	S8
<sup>1</sup> H- and <sup>31</sup> P-NMR spectra of compounds <b>24</b>	S9
<sup>1</sup> H- and <sup>31</sup> P-NMR spectra of compounds <b>25</b>	S10
<sup>1</sup> H- and <sup>31</sup> P-NMR spectra of compounds <b>26</b>	S11

<sup>1</sup> H- and <sup>31</sup> P-NMR spectra of compounds <b>13</b>	S12
<sup>13</sup> C NMR spectrum of compound <b>16</b>	S13
<sup>13</sup> C NMR spectrum of compound <b>17</b>	S14
<sup>13</sup> C NMR spectrum of compound <b>19</b>	S15
<sup>13</sup> C NMR spectrum of compound <b>21</b>	S16
<sup>13</sup> C NMR spectrum of compound <b>22</b>	S17
<sup>13</sup> C NMR spectrum of compound <b>23</b>	S18
<sup>13</sup> C NMR spectrum of compound <b>24</b>	S19
<sup>13</sup> C NMR spectrum of compound <b>25</b>	S20
<sup>13</sup> C NMR spectrum of compound <b>26</b>	S21
Table S1	S22
Figure S1	S22
Table S2	S23

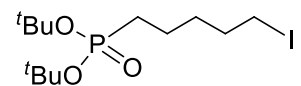




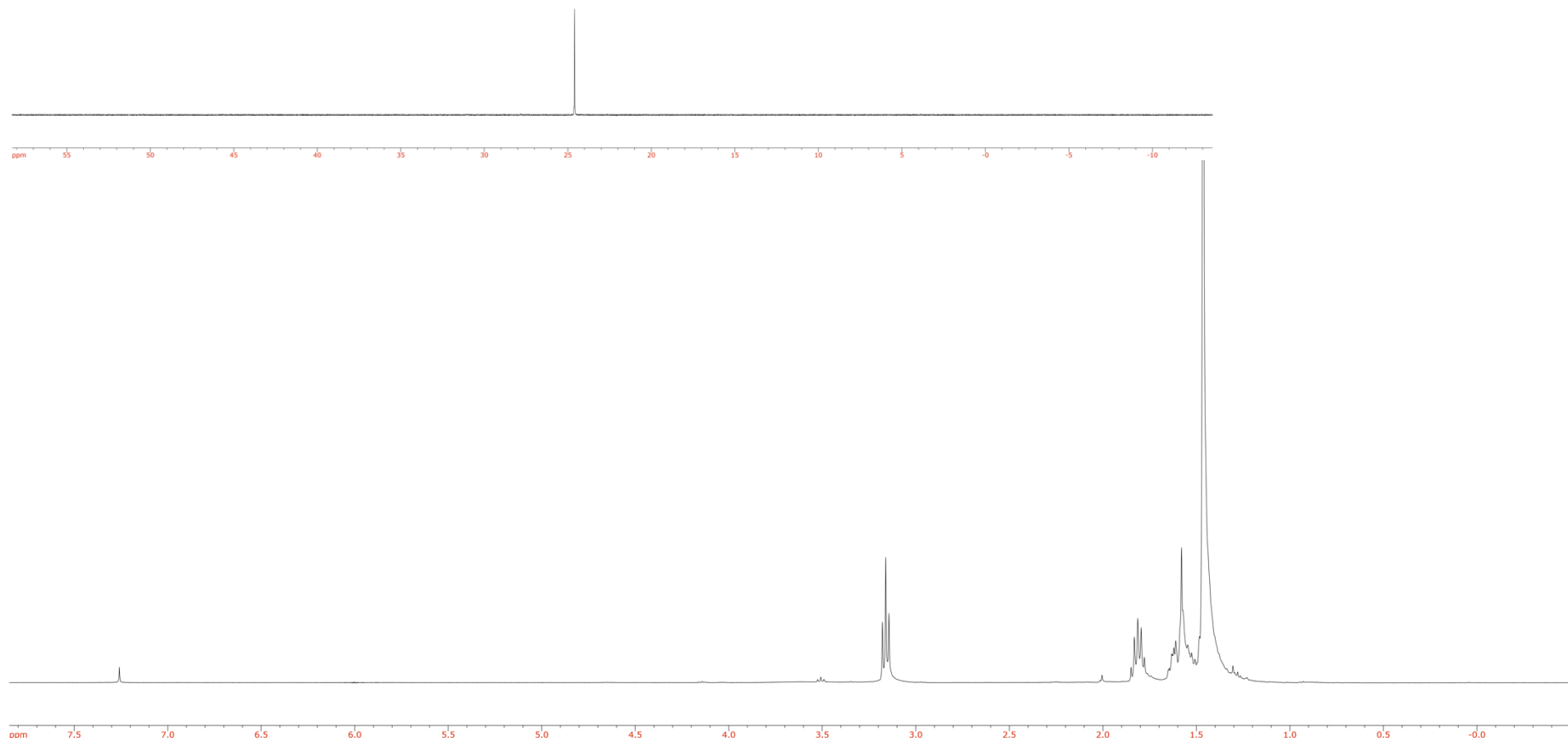
**17**



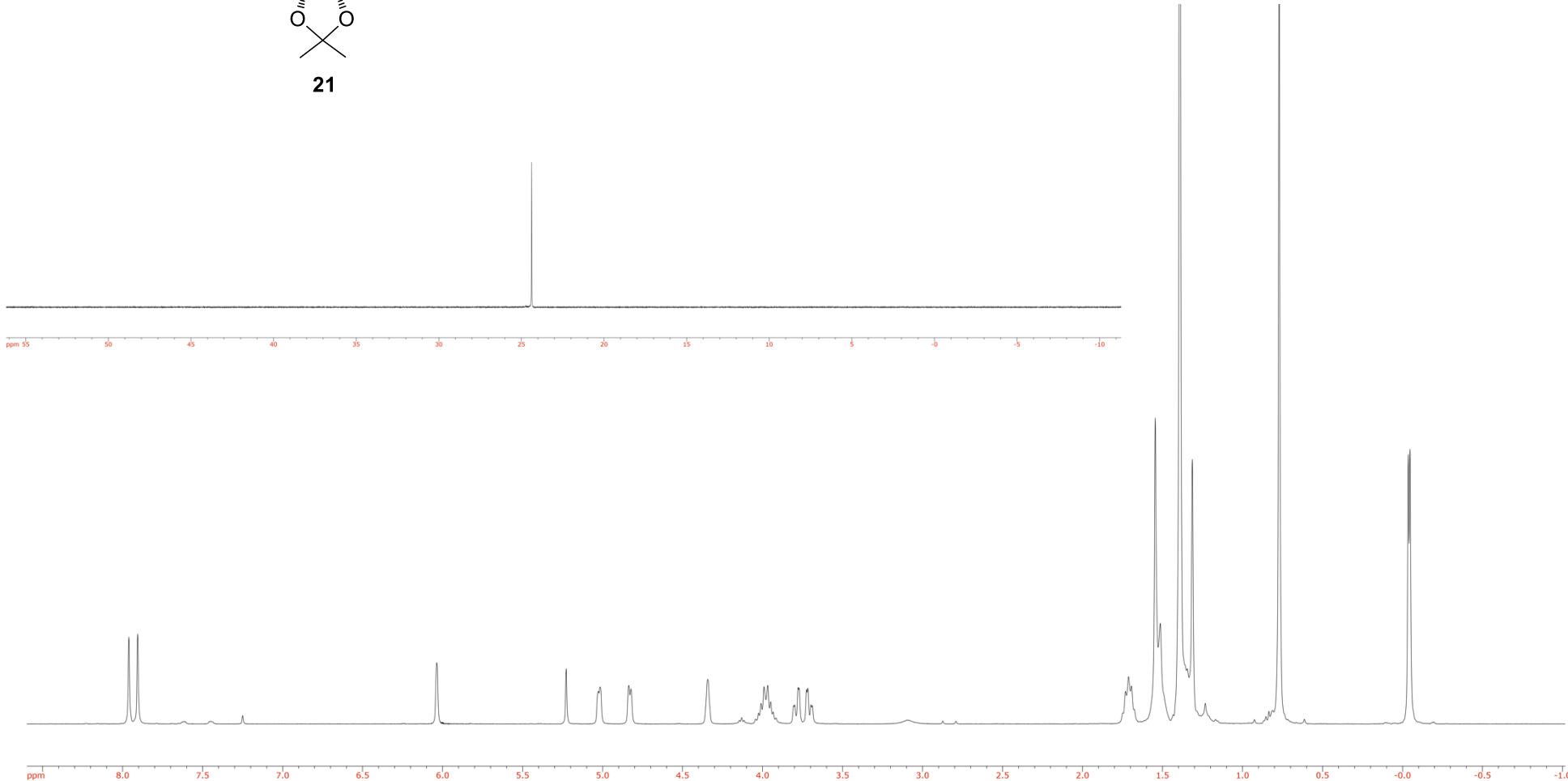
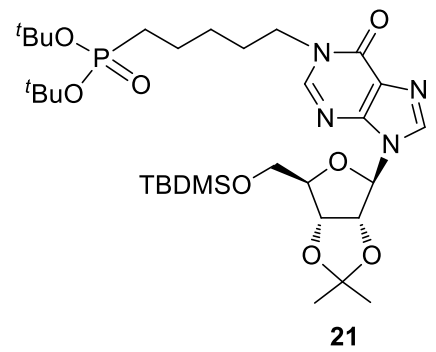
S4



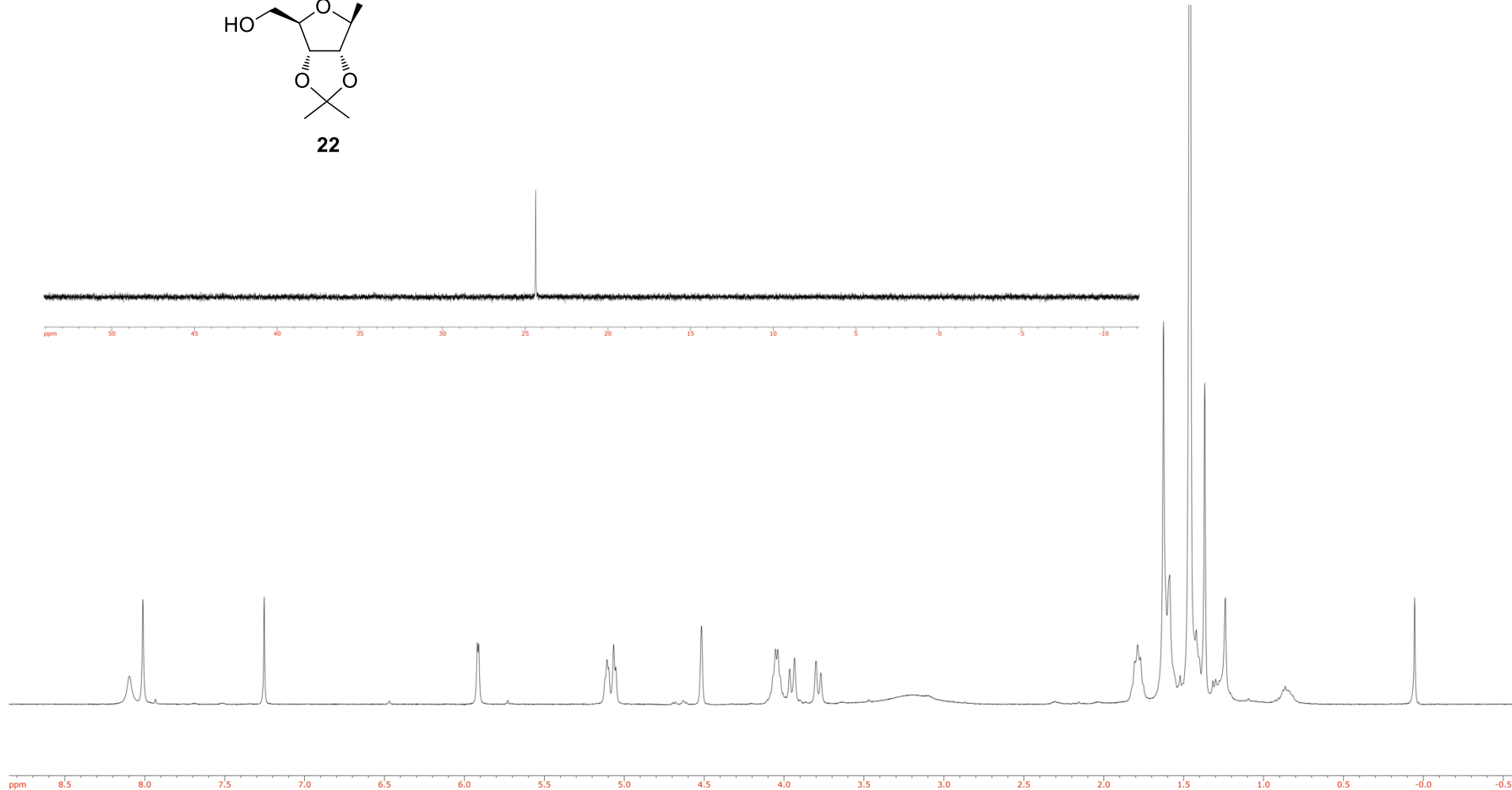
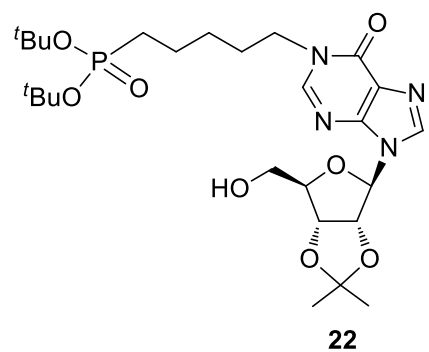
**19**

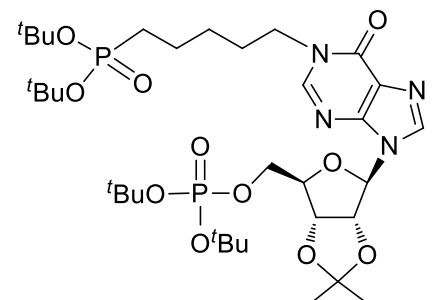


S5

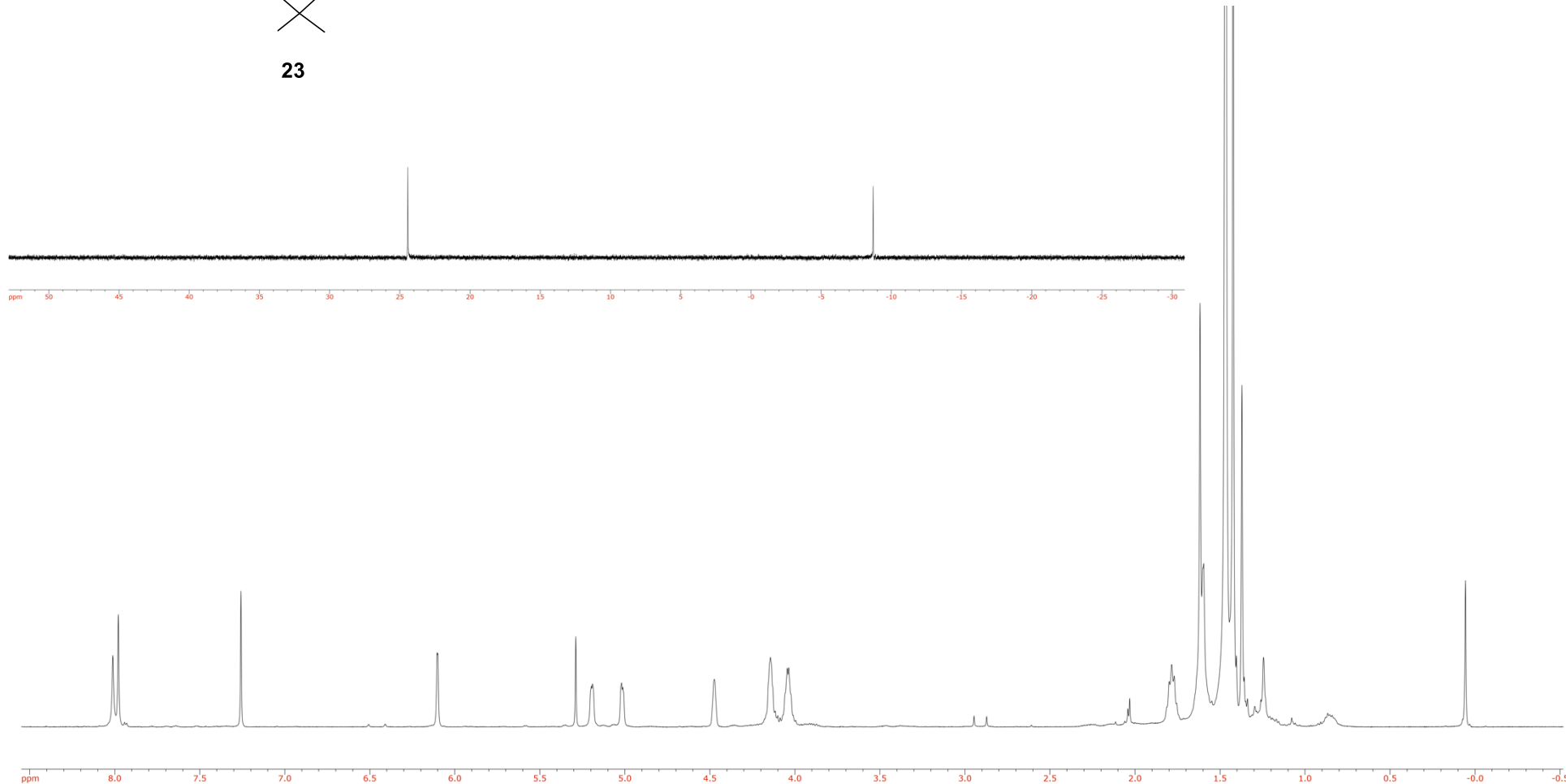


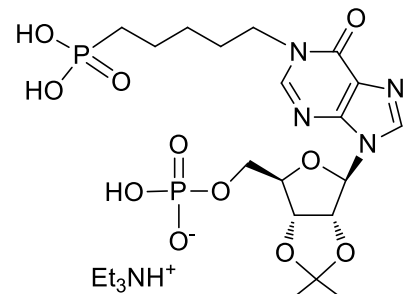
S6



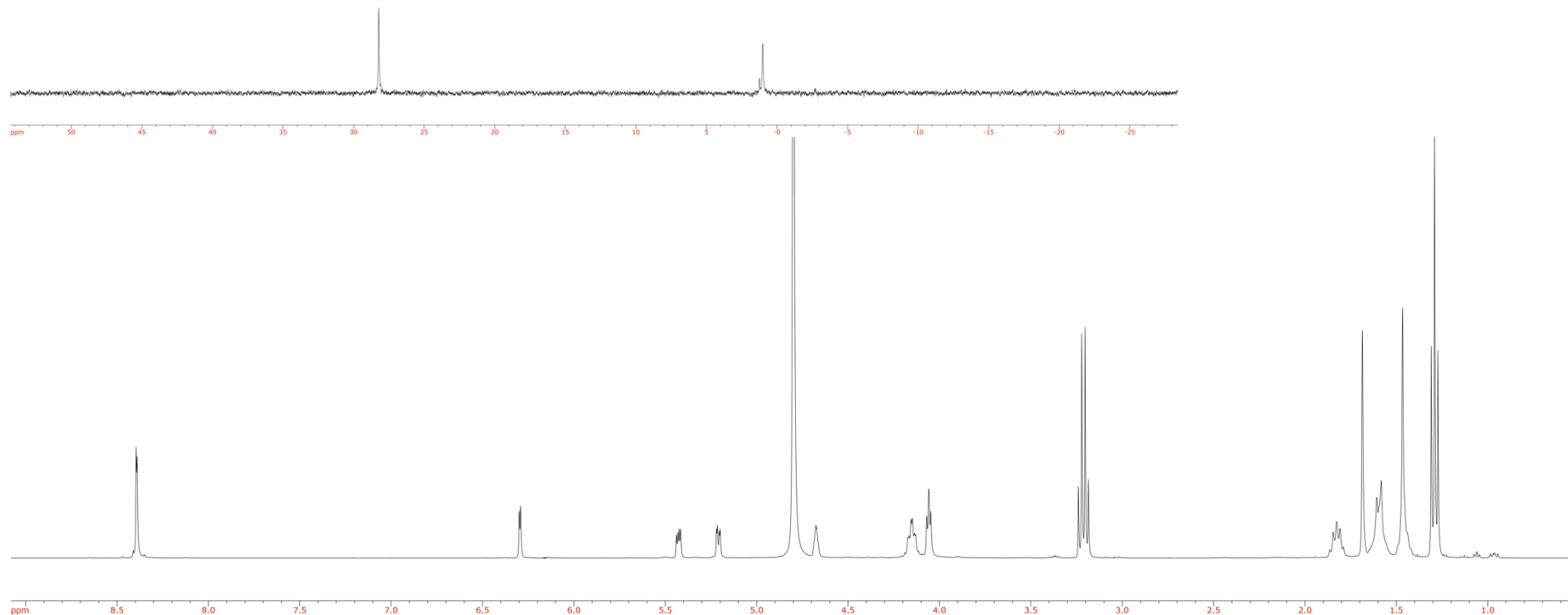


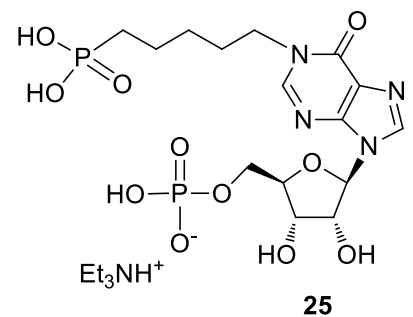
**23**



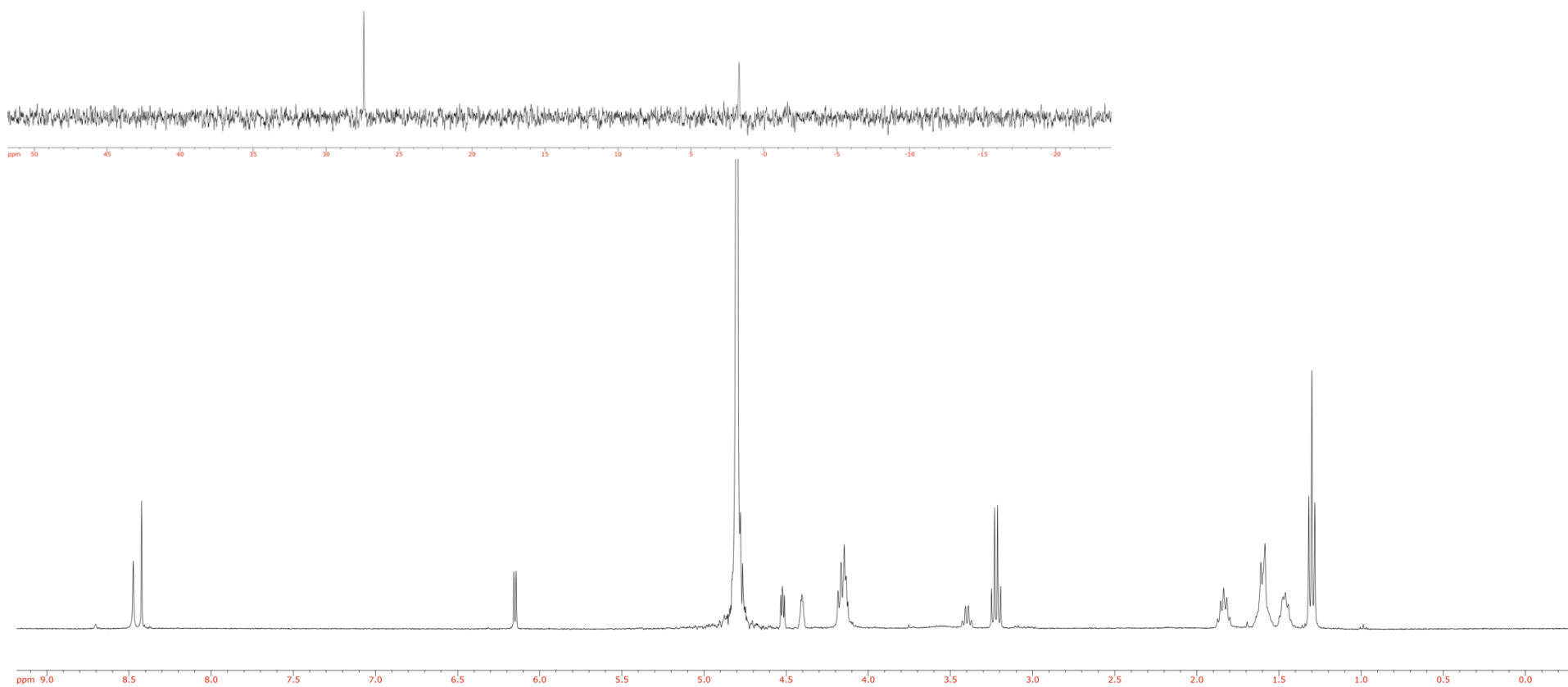


**24**

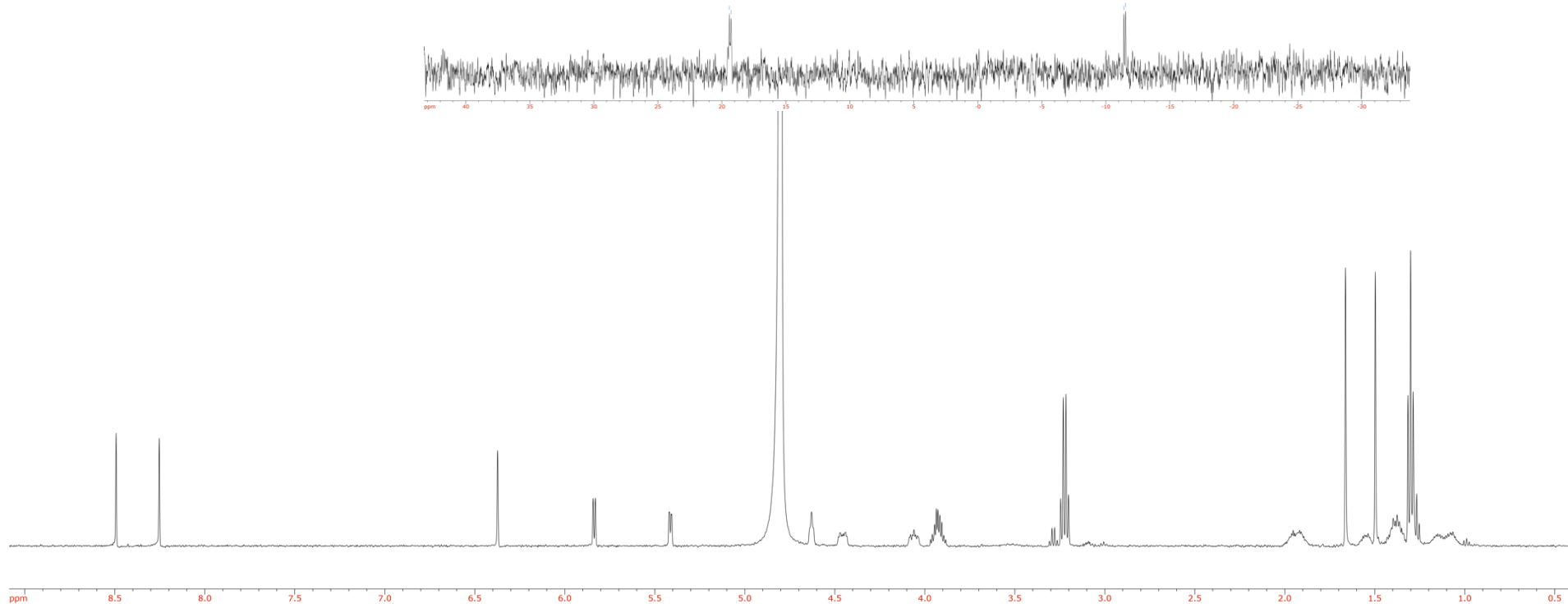
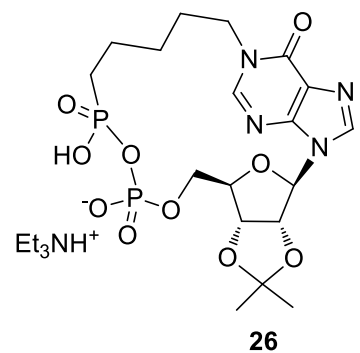




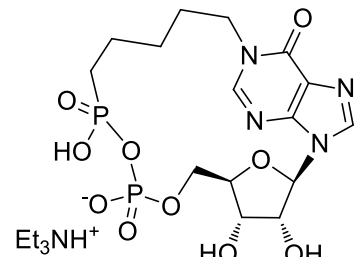
**25**



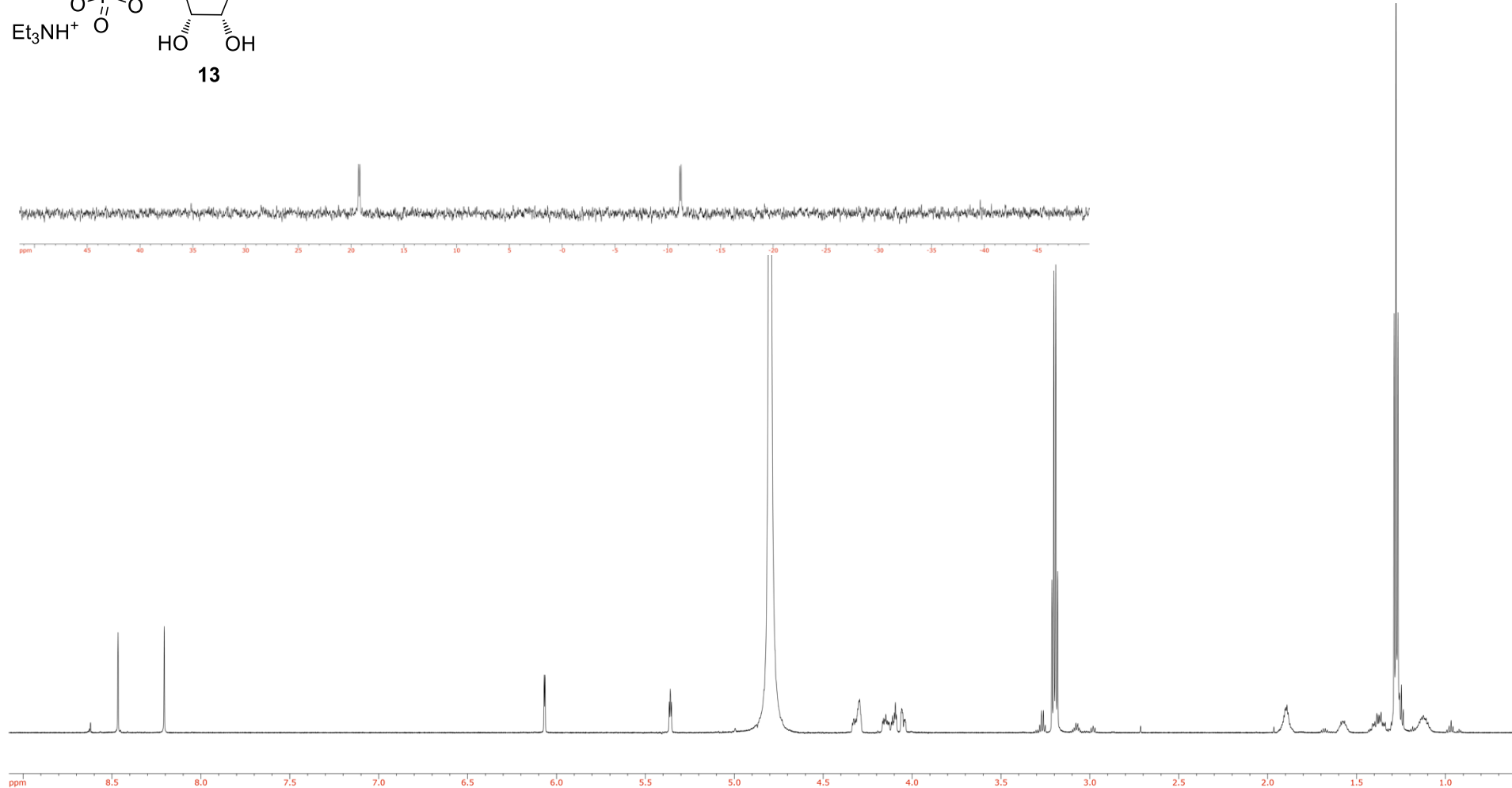
S10

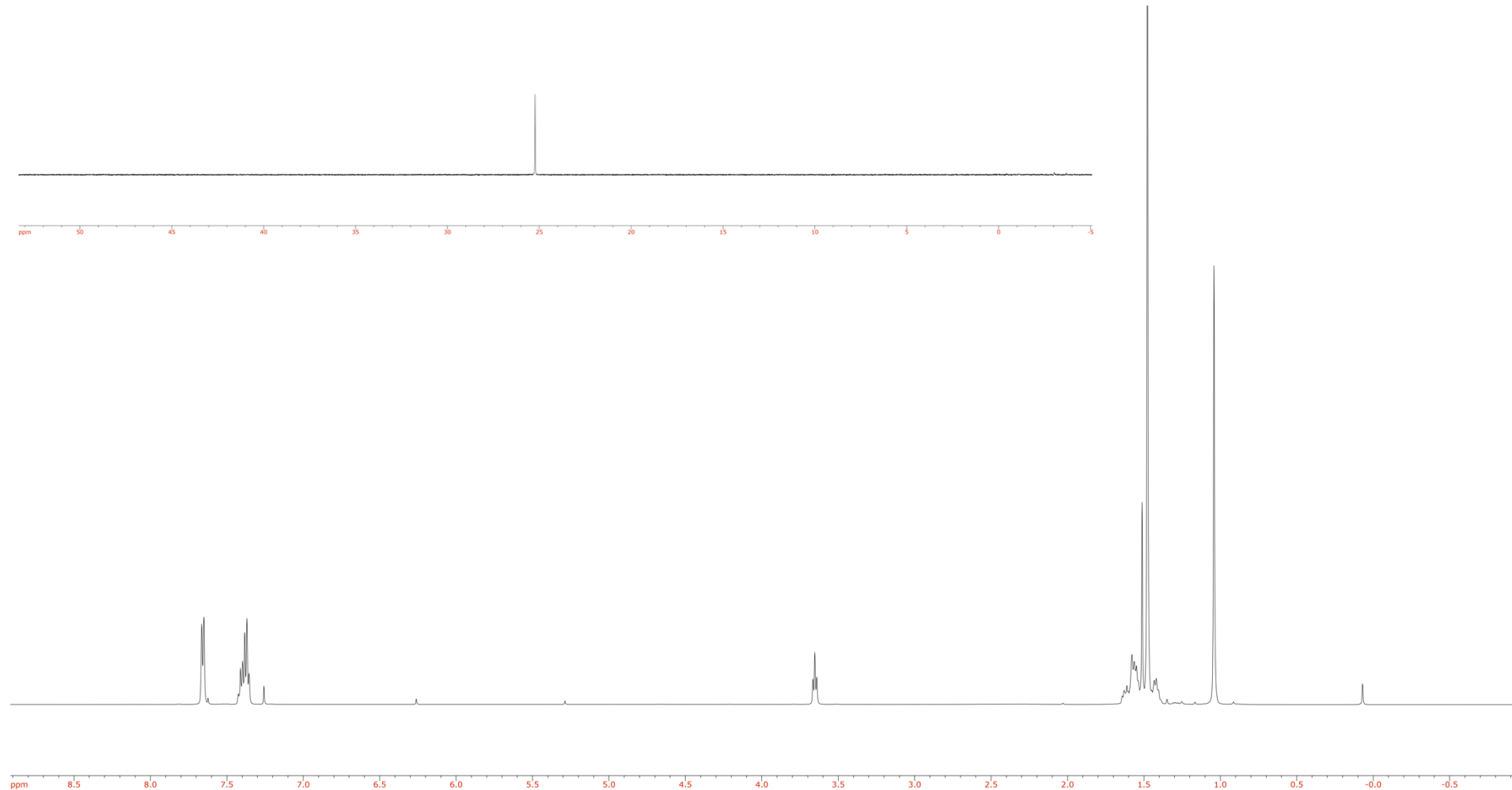
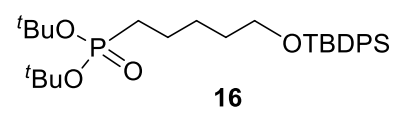


S11

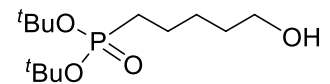


**13**

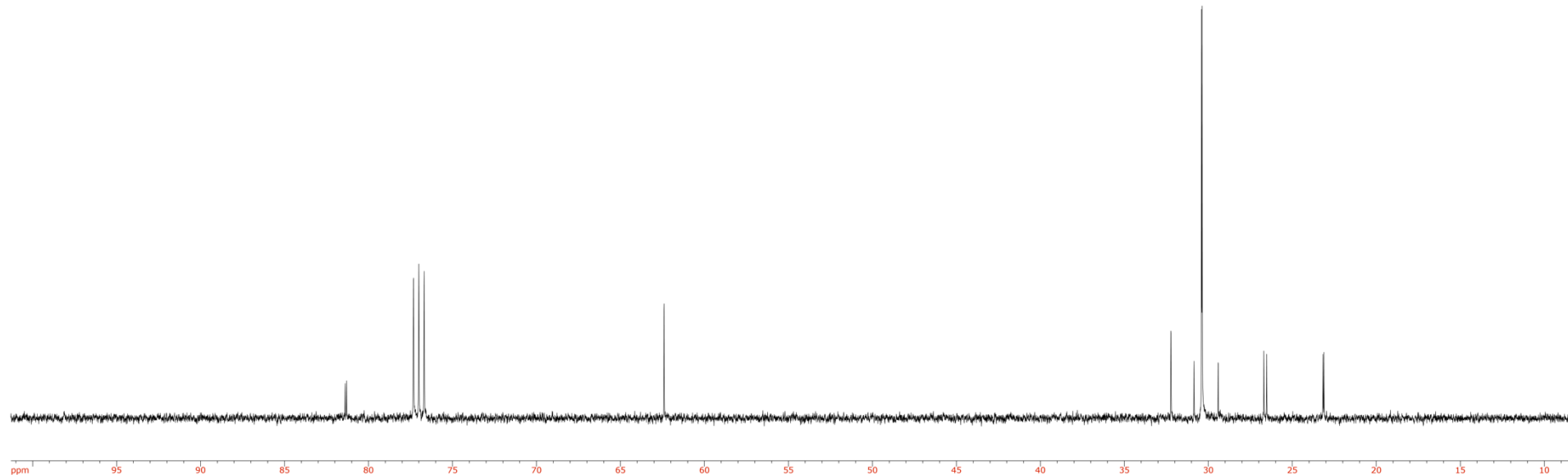


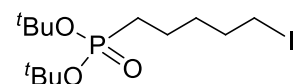


S13

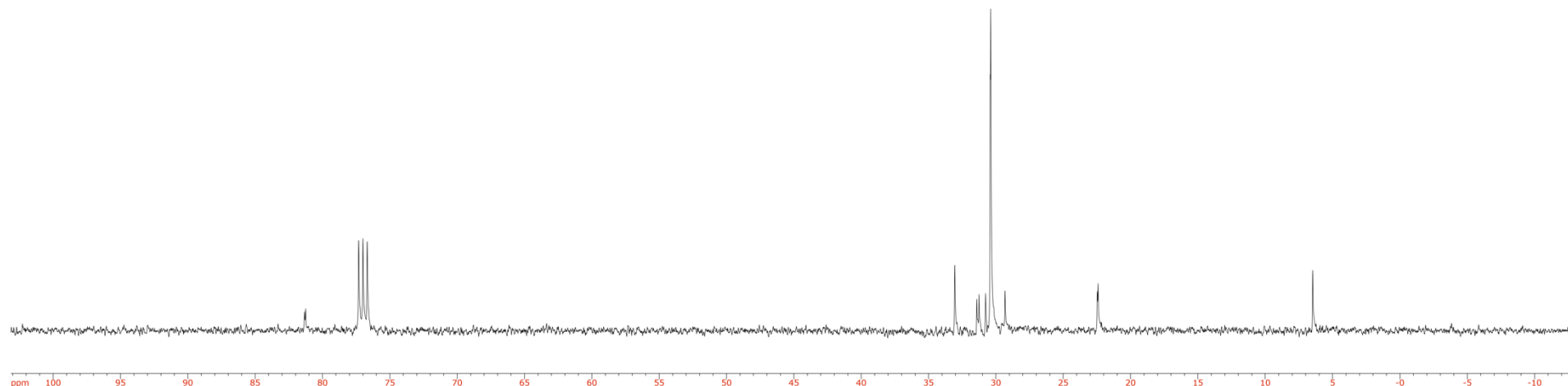


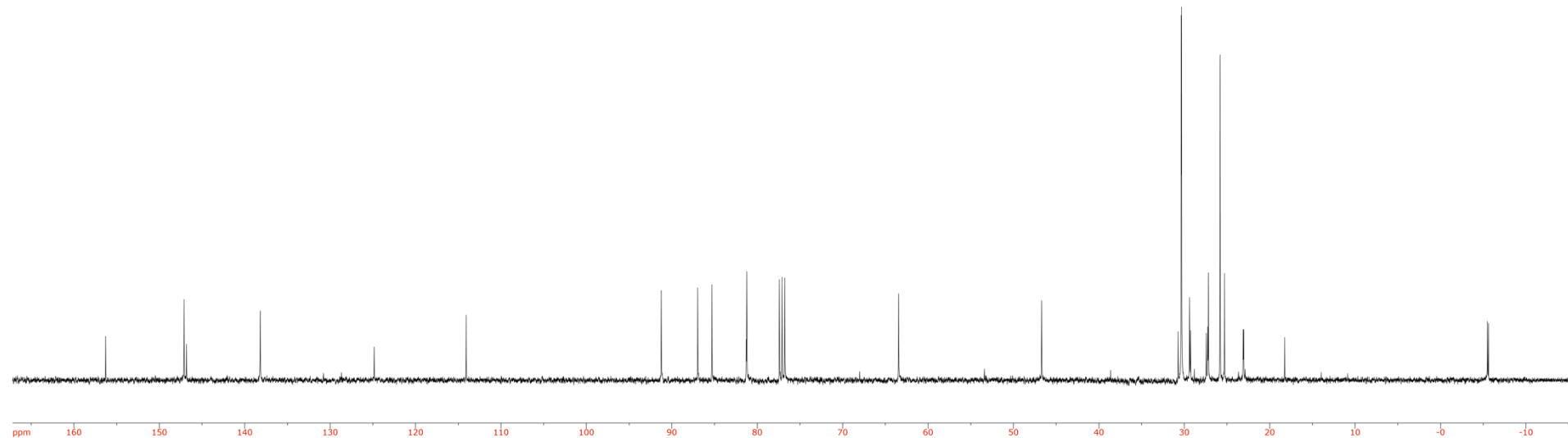
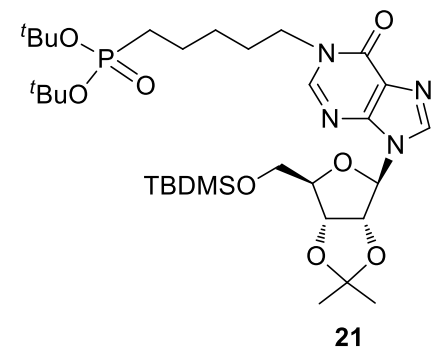
17

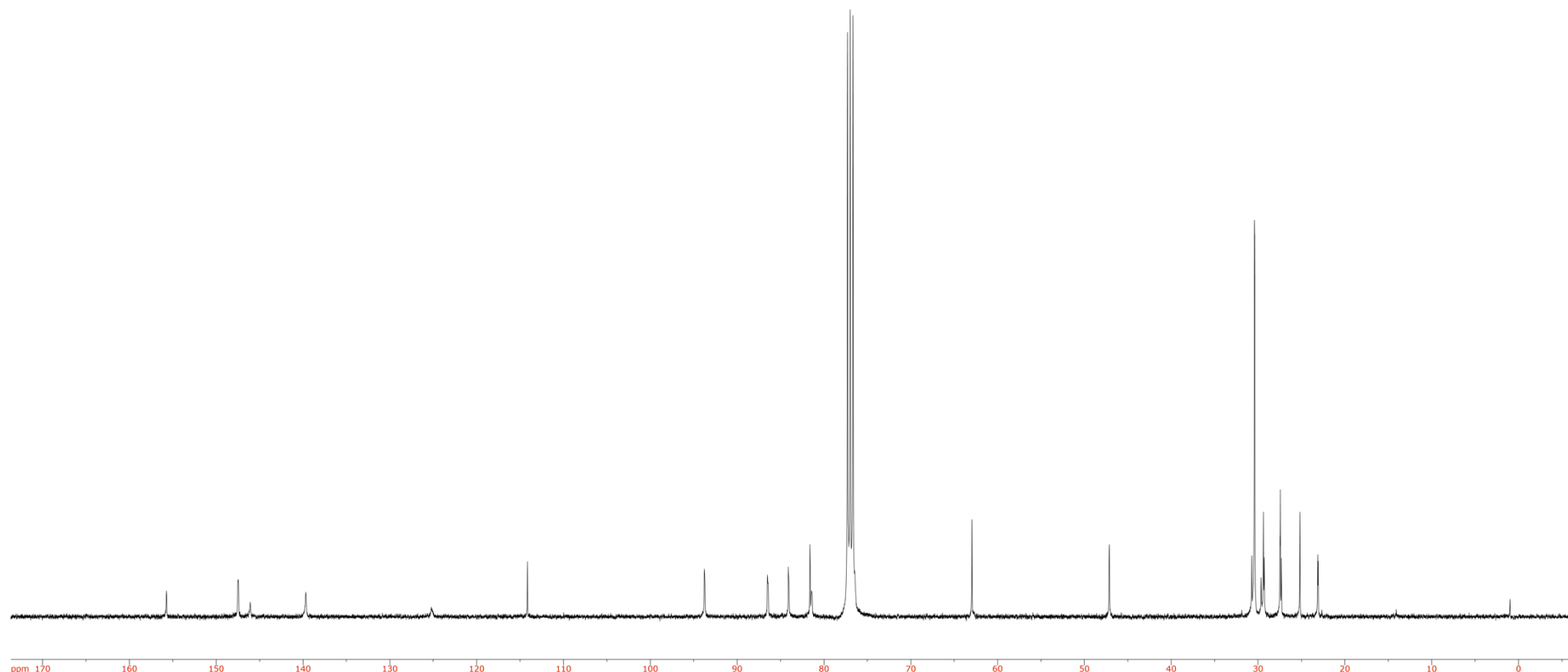
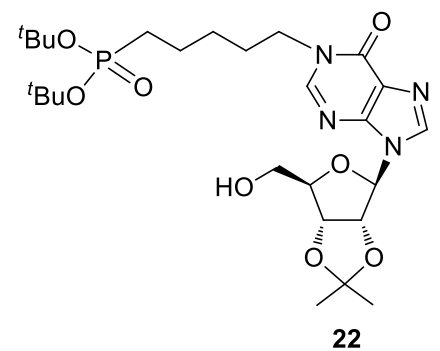


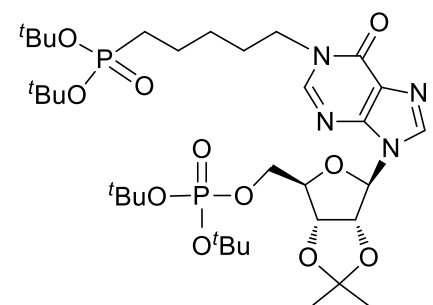


**19**

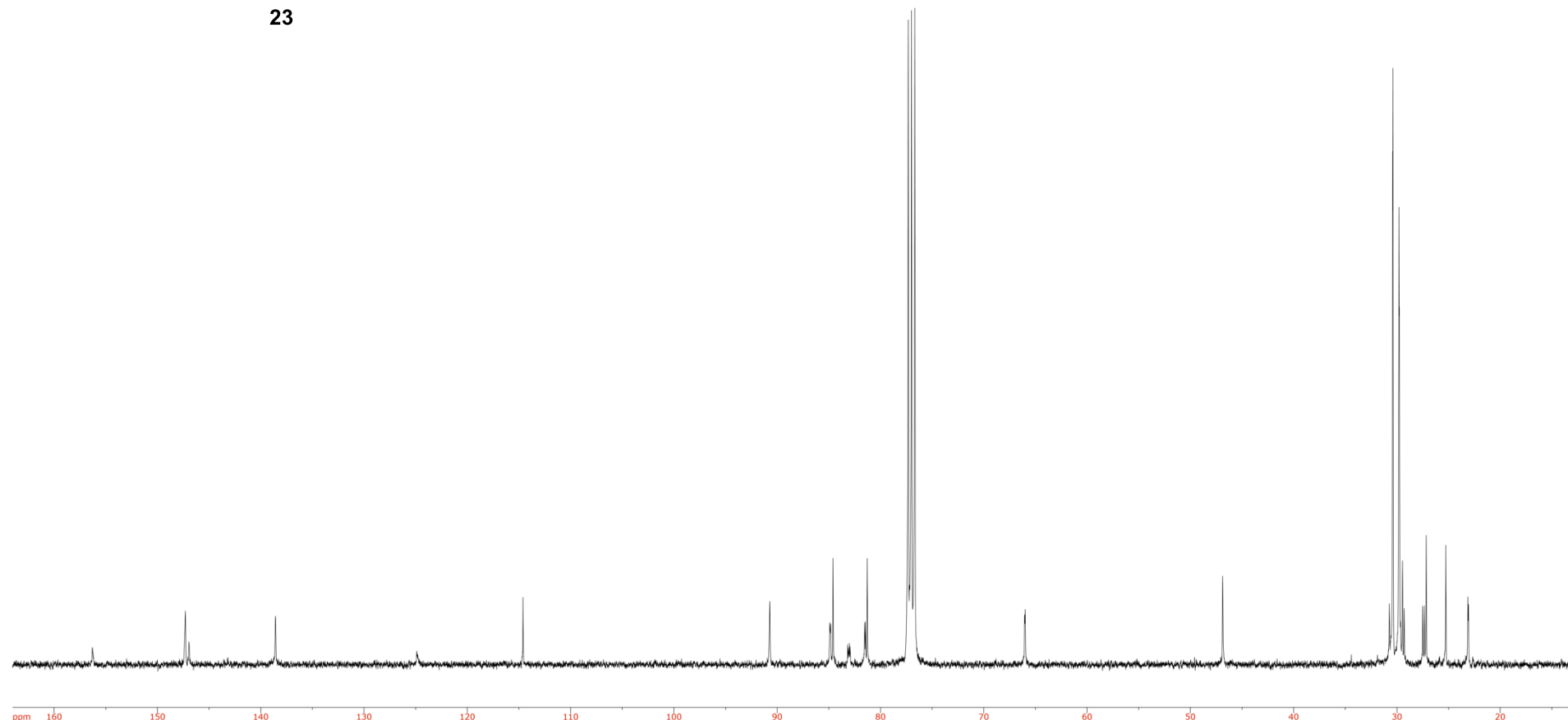


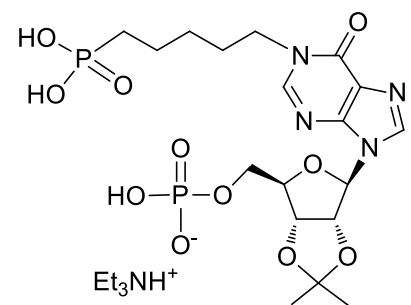




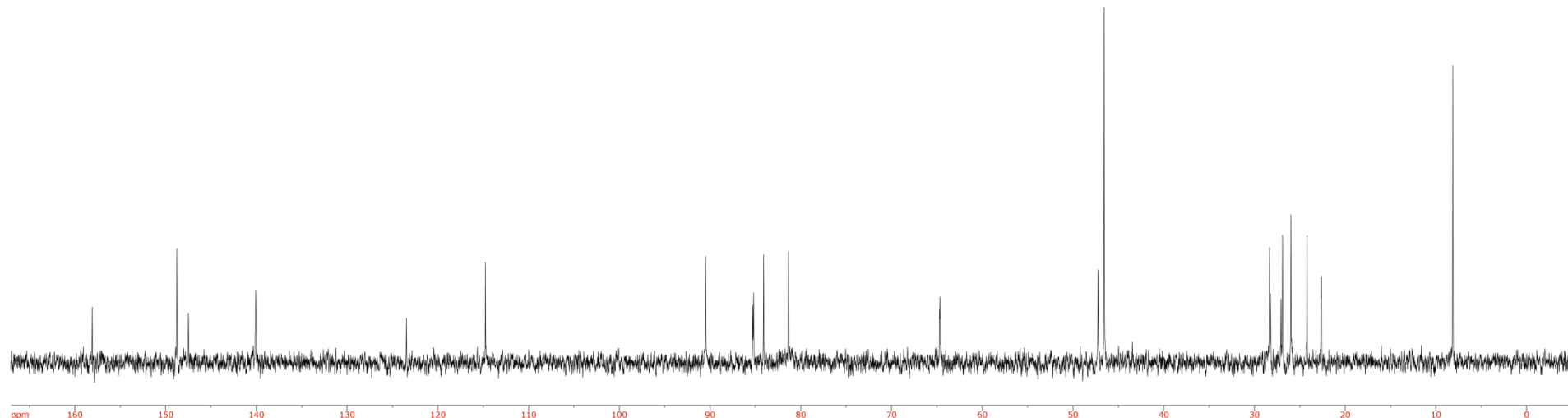


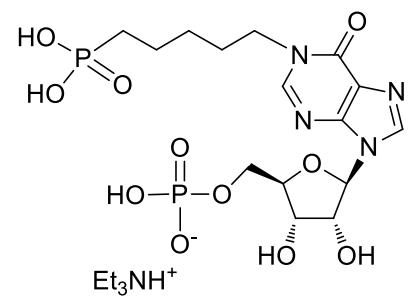
**23**



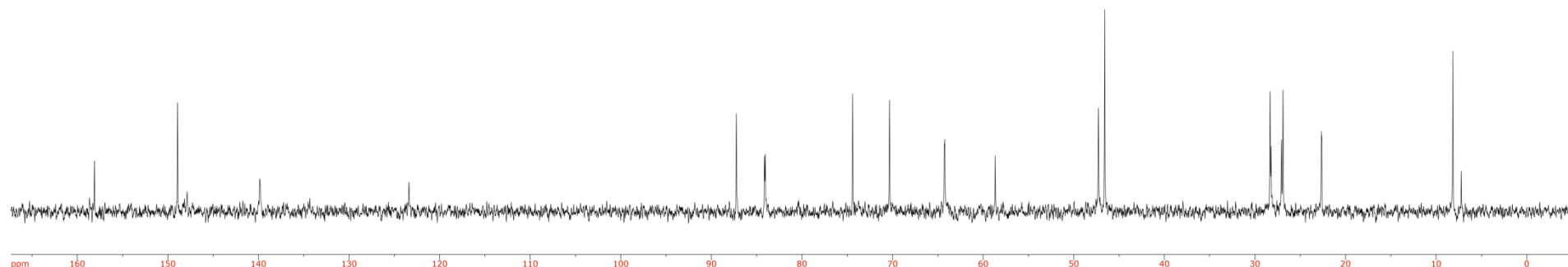


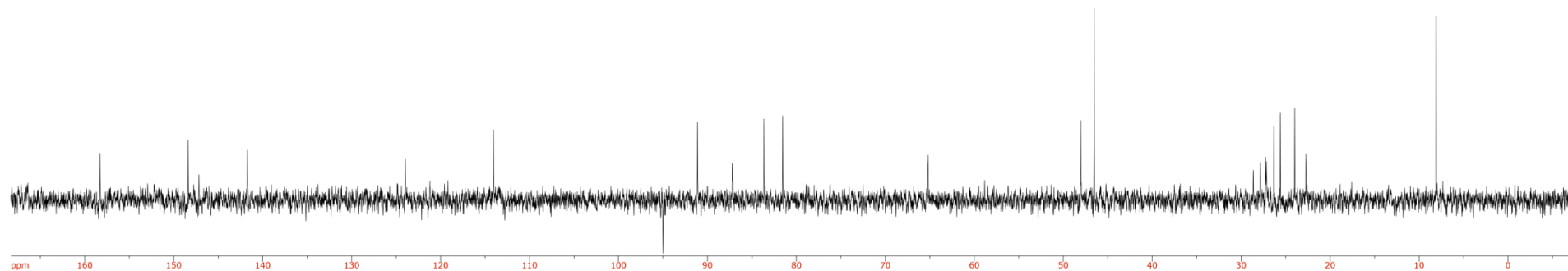
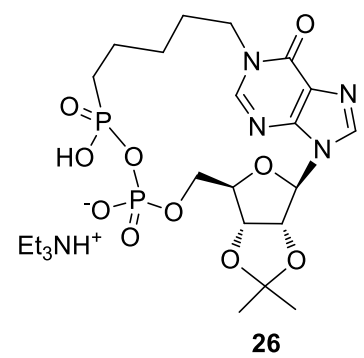
**24**





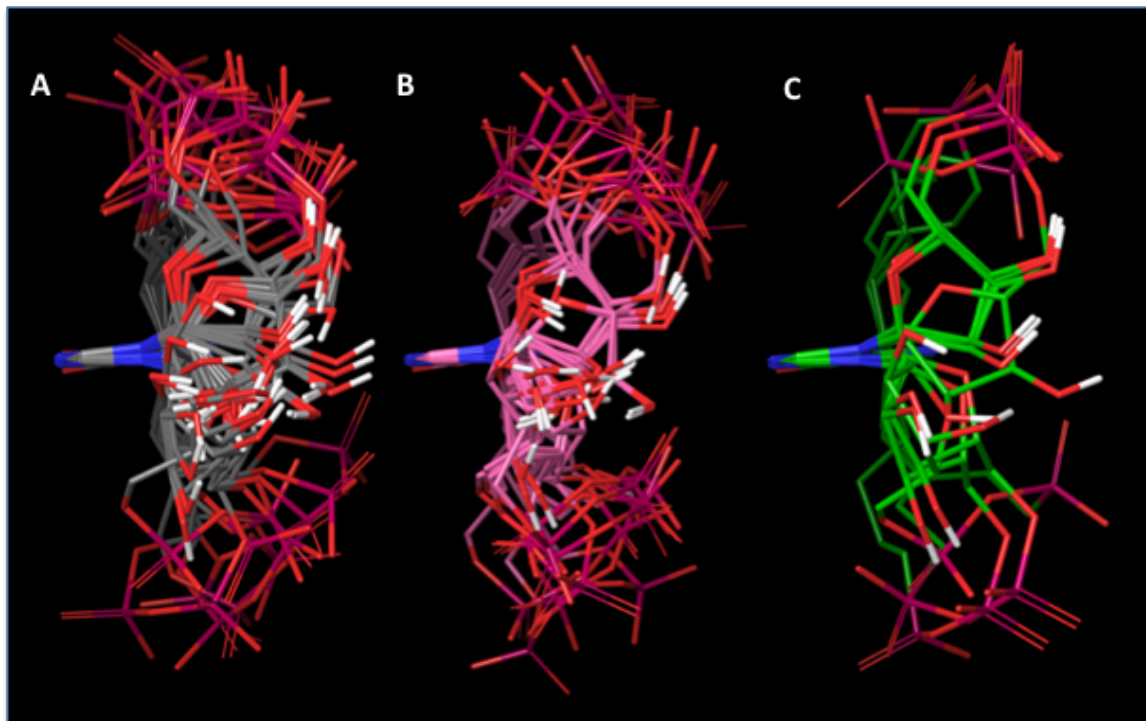
**25**





**Table S1.** Lipophilicity, Relative OPLS 2005 energies and geometrical features of conformers within 5 Kcal/mol from the lowest energy conformation. Atoms used to calculate geometric features are described in Figure 3 of the main text.

Cmpd	AlogP	$\Delta E$ (kcal/mol)	$d_1$ (Å)	$d_2$ (Å)	$d_2$ (Å)	$\theta_1$ (°)	$\theta_2$ (°)	$\theta_3$ (°)	$\theta_4$ (°)
cpIPP ( <b>13</b> )	-2.4	0.0	8,4	5,6	4,7	73	-38	-54	-140
		4.4	8,2	5,4	6,2	74	67	-56	-113
cbIDP ( <b>10</b> )	-2.5	0.0	7,2	4,0	3,9	68	-177	-178	-81
		3.6	7,8	5,4	5,8	65	169	-171	63
		4.4	6,8	4,7	5,9	177	-176	57	-63
		4.7	8,2	5,2	4,7	-46	-54	62	-78
		4.8	7,6	4,2	4,6	69	171	63	80
		4.9	6,6	5,2	4,2	-89	-157	-40	59
cpIDP ( <b>11</b> )	-2.0	0	8,9	5,6	5,1	-33	-62	54	51
		4.2	6,5	4,8	4,1	171	-39	79	38
		4.3	9,0	5,5	5,2	-12	-34	85	42
		4.8	8,1	6,2	6,6	-81	-69	50	52



**Figure S1.** Superimposition on the inosine ring of conformers within 10 kcal/mol from global minimum: A) cbIDP (**10**, grey), B) cpIDP (**11**, pink), and C) cpIPP (**13**, green). Non-polar hydrogens were omitted for sake of clarity. Oxygens were reported in red, nitrogens in blue, phosphates in magenta, hydrogens in white.

**Table S2.** Lipophilicity, Relative OPLS 2005 energies and geometrical features of conformers within 10 Kcal/mol from the lowest energy conformation. Atoms used to calculate geometric features are described in Figure 3 of the main text.

Cmpd	AlogP	$\Delta E$	$d_1$ (Å)	$d_2$ (Å)	$d_2$ (Å)	$\theta_1$ (°)	$\theta_2$ (°)	$\theta_3$ (°)	$\theta_4$ (°)
cpIPP ( <b>13</b> )	-2.4	0.0	8,4	5,6	4,7	73	-38	-54	-140
		4.4	8,2	5,4	6,2	74	67	-56	-113
		5.8	8,4	5,8	5,7	82	-41	72	179
		6.9	8,4	5,9	5,6	65	-40	-67	-158
		9.5	8,1	6,0	6,6	68	46	60	-172
		10.0	8,0	5,0	4,4	62	-173	62	171
cbIDP ( <b>10</b> )	-2,5	0	7,2	4,0	3,9	68	-177	-178	-81
		3,6	7,8	5,4	5,8	65	169	-171	63
		4,4	6,8	4,7	5,9	177	-176	57	-63
		4,7	8,2	5,2	4,7	-46	-54	62	-78
		4,8	7,6	4,2	4,6	69	171	63	80
		4,9	6,6	5,2	4,2	-89	-157	-40	59
		5,8	7,9	6,1	6,2	73	-53	69	74
		6,5	7,3	4,9	6,8	81	75	168	73
		7,2	6,8	3,6	3,9	-61	-169	166	-84
		7,3	7,9	5,0	4,2	-40	175	58	-86
		7,5	6,3	5,0	5,8	-59	-68	-76	58
		7,8	8,2	5,4	4,5	71	-59	62	77
		8,4	7,0	4,7	6,4	61	164	58	-77
		8,6	7,3	4,6	6,5	89	-55	173	73
		8,7	7,2	4,1	5,5	-74	179	-64	77
		8,9	7,9	6,1	7,0	79	56	52	-78
		9,1	7,4	4,0	4,5	66	164	-67	77
		9,2	7,6	4,4	4,8	167	50	-60	-72
		9,4	7,6	6,1	6,8	64	58	-171	79
		9,5	8,2	5,2	4,6	-46	-53	165	-78
		9,6	7,7	5,5	6,4	71	153	171	60
		9,9	7,2	5,8	6,6	62	167	60	-68
		10,0	7,4	4,7	4,6	-61	63	-159	67

cpIDP (11)	-2.0	0,0	8,9	5,6	5,1	-33	-62	54	51
		4,2	6,5	4,8	4,1	171	-39	79	38
		4,3	9,0	5,5	5,2	-12	-34	85	42
		4,8	8,1	6,2	6,6	-81	-69	50	52
		5,5	8,6	5,9	5,8	-25	-59	57	49
		5,7	8,4	6,4	7,7	89	-168	-53	60
		5,9	8,2	5,0	4,7	-162	-66	49	36
		6,5	8,7	5,8	6,5	68	42	-74	-44
		6,9	7,7	5,7	4,2	-160	-54	64	34
		7,9	8,8	5,5	5,5	175	70	-176	37
		8,5	7,2	4,5	6,4	59	152	35	-55
		9,0	7,8	5,8	4,6	-111	159	44	-52
		9,2	6,4	4,9	4,6	154	174	58	-35
		9,3	7,3	3,9	4,3	-164	172	58	-35
		9,5	8,9	5,3	5,2	81	-168	-54	61
		9,7	8,4	6,1	6,8	86	65	-54	-51
		9,9	7,4	5,0	6,6	-23	-55	61	48

---